

II-102 気泡の体積変化を考慮した空気泡プルームの数値解析

中部大学工学部 正員 松尾 直規
京都大学工学部 正員 岩佐 義朗
京都大学大学院 学生員 木村 太

1. はじめに；貯水池の富栄養化対策の一手段である曝気循環法において、空気泡プルームの水理学的挙動を明らかにすることとは重要な課題の一つである。この課題に関し、本研究では、従来の密度流的な取扱いから一步進めて、気泡体積及びその変化を考慮に入れた空気泡プルームの数値解析を実施し、その結果について検討した。
2. 教学モデルと数値計算法；空気泡アルームを、個々の気泡の運動とそれに伴う流体運動の力学的関係に基づいて厳密に取り扱うことは現時点では極めて困難であり、ここでは多數の気泡群を含む流体の平均的挙動を対象として、いくつかの单纯化された条件のもとで現象のモデル化を行うこととする。

- (1) 空気泡の体積及びその変化を考慮に入れた取扱い：空気泡を含む流体の密度、体積を ρ , V 、空気泡、周囲流体のそれらを、それぞれ ρ_a , V_a , ρ_w , V_w とすると、 $\rho = \rho_a(1-S) + \rho_wS$ (2.1.1), $V = V_a + V_w$ (2.1.2) $\frac{V_a}{V} = S$ とおくと、 $\rho = \rho_a(1-S) + \rho_wS = \rho_a + \rho_wS$ (2.1.3) ここで右は $\rho_a = \rho_wS$ であり、液体の状態方程式を用いると、 $\rho_w = SP \frac{M}{RT_a}$ (2.1.4) となる。いま近似的に等温変化を仮定するならば、 $M/RT_a = \text{const.}$ あり、右は S と P に比例することになる。以下ではこの右を一種の拡散量とみなして取扱いを進めよう。次に、気泡の運動に関しては、単純に気泡を半径 r の球形とみなして、鉛直上方に上昇するものと考え、次式で表示する。 C_d を形状係数、 U_{slip} を気泡の Slip 速度として、

$$\rho_a \frac{\pi r^2}{8} \frac{d}{dt}(V_{\text{slip}}) = \frac{\pi r^3}{6}(\rho_w - \rho_a)r - \frac{1}{2}\rho_w \frac{\pi r^3}{8} \frac{d}{dt}(V_{\text{slip}}) - \frac{1}{8}\rho_w \pi r^2 C_d U_{\text{slip}} \quad (2.1.5)$$

- (2)円筒座標による基礎式の展開：気液混相流の平均的挙動の把握という目的あり、軸対称の流れを仮定して、 θ 方向の変化を無視した円筒座標系(r, z)により、 r 、次のように基盤式を展開する。

$$(a) \text{周囲流体の連続式 (圧縮性流体の連続式)} \quad \frac{\partial \rho}{\partial t} + \frac{1}{r} \frac{\partial}{\partial r} (\rho U_r) + \frac{1}{r^2} (\rho U_z)^2 = 0 \quad (2.2.1)$$

- (b) 周囲流体の運動方程式

$$(r \text{ 方向}) \quad \frac{\partial}{\partial t} (\rho U_r) + \frac{1}{r} \frac{\partial}{\partial r} (\rho U_r^2) + \frac{1}{r^2} (\rho U_z U_r) = - \frac{\partial P}{\partial r} + \frac{1}{r} \frac{\partial}{\partial r} (\rho \mu \frac{\partial U_r}{\partial r}) + \frac{2}{r^2} (\rho \mu \frac{\partial U_z}{\partial z}) \quad (2.2.2)$$

$$(z \text{ 方向}) \quad \frac{\partial}{\partial t} (\rho U_z) + \frac{1}{r} \frac{\partial}{\partial r} (\rho U_r U_z) + \frac{1}{r^2} (\rho U_z^2) = - \rho g - \frac{\partial P}{\partial z} + \frac{1}{r} \frac{\partial}{\partial r} (\rho \mu \frac{\partial U_z}{\partial r}) + \frac{2}{r^2} (\rho \mu \frac{\partial U_z}{\partial z}) + F_z \quad (2.2.3)$$

$$(c) 水温収支則
$$\frac{\partial}{\partial t} (\rho T) + \frac{1}{r} \frac{\partial}{\partial r} (\rho T U_r) + \frac{1}{r^2} (\rho T U_z) = \frac{1}{r} \frac{\partial}{\partial r} (\rho \kappa \frac{\partial T}{\partial r}) + \frac{2}{r^2} (\rho \kappa \frac{\partial T}{\partial z}) \quad (2.2.4)$$$$

$$(d) 気泡拡散方程式
$$\frac{\partial}{\partial t} (\rho S) + \frac{1}{r} \frac{\partial}{\partial r} (\rho S U_r) + \frac{1}{r^2} (\rho S U_z) = \alpha (1 - \frac{1}{r}) \frac{\partial}{\partial r} (S \mu \frac{\partial S}{\partial r}) + \frac{2}{r^2} (S \mu \frac{\partial S}{\partial z}) \quad (2.2.5)$$$$

- 今、右は r , z 方向の流速成分、 ϵ_m , ϵ_{rz} , ϵ_{rr} , ϵ_{zz} は渦動粘性係数、また ϵ_m , ϵ_{rz} は温度拡散係数、 ϵ_{rr} , ϵ_{zz} は気泡拡散係数である。なお、各水理量は平均流に関するものである。さらに、右は (2.1.5) 式に従って周囲流体が気泡から受けける鉛直方向の力であり、 $F_z = \rho g S$ と表わされる。また、 $d = S P$ である。なお、気泡は水面においてのみ消失するものとする。上述の教学モデルによる数値解析は、従来と同様に、Staggered Scheme により差分式に直し、Explicit 法で計算した。

- (e) 気泡の Slip 速度： (2.1.5) 式ならびに気泡に関する状態方程式、エネルギー保存則を連立して U_{slip} の数値解を求め、その結果より、気泡が、空気放出口からの距離に比例する形の近似式を作成してその値を計算した。

- (f) 游動粘性係数及び各種拡散係数：各種係数の値は現段階では不明であり、これらを明らかにすることが今後の大さな課題の一つであるが、ここではひとまず以下のようになどに仮定する。まず渦動粘性係数については、

$$\epsilon_m = \epsilon_{rr} = \epsilon_{zz} = \epsilon_{rz} = \alpha (z' + C_0) |U_{\text{slip}}| \quad (2.4.1) \quad \text{右は中心 Column の流速値、} z' \text{ は放出口からの距離である。なお、} \rho \text{ プルーム域} (V_a > V_w \text{ とする範囲とした}) \text{ 外について} \epsilon_m = C_1 (U_r^2 + U_z^2)^{1/2} \quad (2.4.2) \text{ で} \epsilon_m \text{ を与えることにする。気泡、温度拡散係数は次式で与えられる。}$$

$$\epsilon_{rr} = \epsilon_{zz} = \epsilon_{rz} = \lambda_1 \epsilon_m \quad (2.4.3), \quad \epsilon_{rz} = \epsilon_{rr} = \epsilon_{zz} = 1.346 \cdot \epsilon_m \quad (2.4.4)$$

3. 計算結果とその考察

(1) 濃度が一様な流体場での適用結果: 対象領域は Kobus の実験²⁾値と比較するため半径 4 m、水深 4.7 m の円柱状領域とし、

メッシュ分割は、鉛直方向に $\Delta z = 10 \text{ cm}$ の等間隔、半径方向には $r = 15 \text{ cm}$ までは $\Delta r = 5 \text{ cm}$ の等間隔、その後は直線的に Δr を増加させた。水温は 15°C で一様、流速は静止状態とした。計算は鉛直流速がほぼ定常に達したとみなしうる時点(40秒)まで行った。その他の条件は図-1 に示す通りである。計算結果は G_m の考え方によると大きく左右されるが、図-1 B が図-2

に示されるように、 G_m に関する係数を適当に与えることによ

り、概ね Kobus の実験値に一致する結果が得られる。(しかしながら、図-2 においては、空気放出点近傍の Initial region で半径方向の分布形状に若干の不一致がみられ、この領域での再現性に問題を残している。次に従来の気泡体積及びその変化を無視したモデルによる結果との比較を図-3 に示す。気泡体積とその変化を無視した場合、定性的にはそれを考慮した場合と変わりはないが、流速値は、流体の鉛直方向への運動量変化に及ぼす気泡の影響が過小に評価される結果、小さくなっている。

(2) 成層流体場での適用結果: 対象領域は現地スケールを考慮に入れ、

半径 20 m、水深 23 m の円柱状領域を考え、水深方向に $\Delta z = 0.5 \text{ m}$ 、半径方向には、 $\Delta r = 0.2 \sim 0.9 \text{ m}$ まで場所的に変化させて分割し、図-4 に示すような水温分布を与えた場合と、一様水温(15°C)を与えた場合について計算を実施した。なお、計算時間間隔 $\Delta t = 0.01 \text{ 秒}$ 、また計算時間は 140 秒とした。

まず、鉛直軸上流速の鉛直方向分布を図-5 に示す。この図より、水温成層のある場合には濃度の大きな表水層の水が運行されるため、水温一様の場合と比べてやや小さな流速値を示すことがわかる。次に図-6 に水温成層の鉛直方向分布を示す。水温成層に関しては、対象領域が広いためから計算開始後 140 秒を経ても定常とはみなしうるが、定性的影響をみるこ³⁾とができる。この図より、表層流の生じてこ³⁾る断面での流速分布は、ほぼ三角形分布あるいは指數分布を示すことがわかる。また水温成層が存在する場合には、揚水される水の重力効果によって表層水平流に転ずる前のアーレームが有する運動量が小さく、また速さが減衰するため、結果的に水平流速成分の値が、一様濃度場におけるそれよりも小さくなっている。

4. おわりに; 気泡体積とその変化を考慮した解析により、空気混入率が流れに及ぼす影響を明らかにすることが可能となる。また、実際の場である成層流体内でのアーレームの挙動が考察された。しかしながら、いずれにせよ、渦動粘性係数及び各種拡散係数の値によって計算結果が大きく左右されることに変わりはない。これらの値を正しく評価すること、さらには現地への適用など、室内実験を含めてさらに研究を進めていく所存である。

(参考文献) 1) 岩佐、松尾他; 空気泡ブルームの水理に関する研究、昭和60年度土木学会関西支部年次講演会

2) Kobus, E.H.; Analysis of the flow induced by air-bubble systems; Proc. 11th conference on coastal Eng., 1968

3) 岩佐、松尾; エアレーションにより生じる流れの数値解析、京都大学防災年報27号、1984

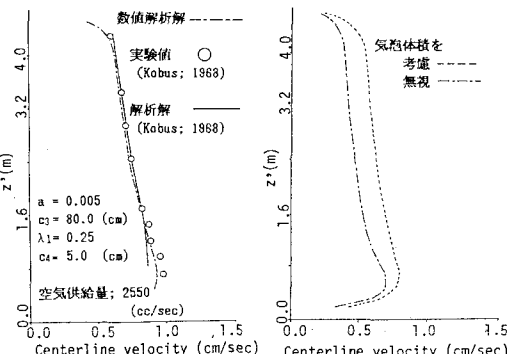


図-1 鉛直軸上流速分布

図-3 鉛直軸上流速分布

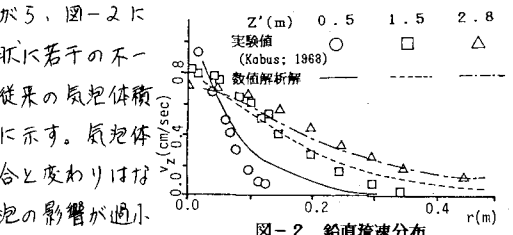


図-2 鉛直流速分布

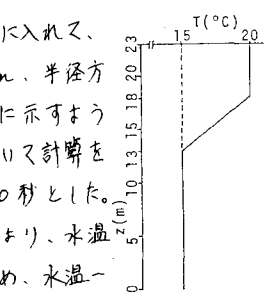


図-4 水温分布

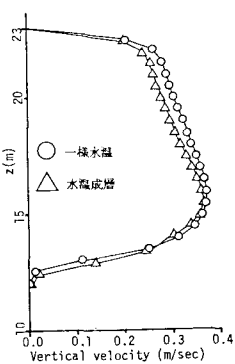


図-5 鉛直軸上流速分布

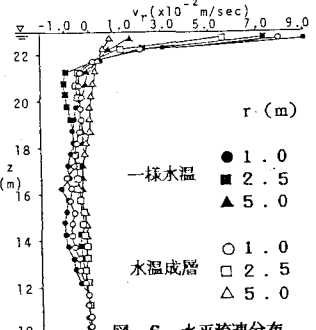


図-6 水平流速分布